

ارزیابی تقابلات بین نوسانات طبیعی اقلیم و فعالیت‌های بشری بر روایاب

پریسasadat آشفته^{*}، امید بزرگ‌حداد^۱

۱. دانشجوی دکتری مهندسی منابع آب، پردیس کشاورزی و منابع طبیعی دانشگاه تهران، کرج، ایران

۲. دانشیار گروه مهندسی آبیاری و آبادانی، پردیس کشاورزی و منابع طبیعی دانشگاه تهران، کرج

(تاریخ دریافت: ۱۳۹۲/۲/۲۵ - تاریخ تصویب: ۱۳۹۳/۱/۲۳)

چکیده

در این پژوهش، روندهای بلندمدت و تغییرات ناگهانی متغیرهای هیدرولوژیکی در دوره مشاهداتی ۱۹۷۱-۲۰۰۰ در حوضه آیدوغموش، بهتریپ با آزمون ناپارامتری من-کنдал و منحنی تجمعی متغیرهای اقلیمی-رواناب بررسی شد. نتایج روندهای کاهشی برای بارندگی و روایاب و روند افزایشی برای دما، توسط آزمون من-کنдал با سطح اطمینان ۹۹ درصد را نشان می‌دهند. تغییر گرادیان منحنی تجمعی متغیرهای اقلیمی-رواناب، بیانگر این است که رابطه بین متغیرهای اقلیمی-رواناب، می‌تواند متأثر از عامل فعالیت‌های بشری باشد. با شناسایی نقطه تغییر گرادیان منحنی، دوره مشاهداتی به دو زیردوره، پایه و دوره مرتبط با فعالیت‌های بشری، تقسیم شد. برای تعیین آثار فعالیت‌های بشری بر روایاب، مدل هیدرولوژیکی در دوره پایه، واسنجی و صحت‌سنجی و با معرفی متغیرهای هیدرولوژیکی در دوره فعالیت‌های بشری به مدل، روایاب تولیدی تعیین شد. نتایج نشان می‌دهند که نوسانات طبیعی اقلیم و فعالیت‌های بشری، بهتریپ سهم ۷۹ و ۲۱ درصدی در کاهش روایاب دارند.

کلیدواژگان: حوضه آبریز، نقطه تغییر گرادیان منحنی، نوسانات طبیعی اقلیم.

Model, AOGCM (دما، بارندگی و تبخیر و تعرق پتانسیل) که به عنوان ورودی در مدل‌های بارش-روایاب به کار برده شدند، بر روی سه حوضه ارزیابی شدند. ابتدا داده‌های ناقص بارندگی با استفاده از تحلیل رگرسیون و متوسط بلندمدت روزانه تکمیل و سپس از مدل MAGICC برای شبیه‌سازی پارامترهای اقلیمی برای دوره پایه استفاده شد. نتایج نشان داد که مدل‌های اقلیمی به کاررفته، عملکرد خوبی داشتند. همچنین تغییرات روایاب در حوضه ۱، به میزان ± 5 درصد و در حوضه ۲، ± 2 درصد و در حوضه ۳، از ۴ درصد تا ۲۳ درصد خواهد بود. Yang and Tian (2009) تغییر روایاب ناشی از تغییر اقلیم و اقدامات بشری را در حوضه رودخانه هایفا (Haihe) بررسی کردند. آن‌ها در پژوهش خود از آزمون من-کنдал برای بررسی تغییرات ناگهانی روایاب طی دوره ۱۹۶۰-۱۹۹۹ استفاده کردند. نتایج نشان دادند که افزایش سطح زیرکشت به میزان ۲۵ درصد، سبب کاهش روایاب شده است. Jiang *et al.* (2011) به بررسی اثرات تغییرپذیری اقلیمی و فعالیت‌های بشری بر روایاب حوضه‌ای در چین، با سه روش پرداختند. سه روش به کاررفته عبارت بودند از: روش چندگرگرسیونی، تحلیل حساسیت هیدرولوژیکی و شبیه‌سازی مدل هیدرولوژیکی. نتایج نشان دادند که در دوره ۱۹۸۰-۲۰۰۸، اقدامات بشری سهم بهسزایی در کاهش روایاب به میزان ۸۹ تا

مقدمه

فرایندهای هیدرولوژیکی به دلیل تأثیرات دو عامل شرایط اقلیمی و فعالیت‌های بشری از جمله تغییر کاربری اراضی و ایجاد طرح‌های توسعه منابع آب، فرایندهایی پیچیده هستند. بنابراین، در چند سال اخیر مطالعاتی در این زمینه انجام شده است. اخیراً مطالعاتی که در زمینه ارزیابی آثار تغییر اقلیم بر هیدرولوژی و منابع آب انجام شده است، با فرض عدم تغییر در کاربری اراضی و پوشش زمین بوده‌اند. این در حالی است که رشد جمعیت، توسعه کشاورزی و تغییر کاربری اراضی از عوامل مهم تغییر در رژیم هیدرولوژیکی هستند (Cong *et al.*, 2009). بنابراین، ضروری است که اثرات این دو عامل (носانات طبیعی اقلیم Natural Climate Variability) و فعالیت‌های بشری بر ویژگی‌های هیدرولوژیکی حوضه (میزان روایاب) به منظور توسعه راه‌کارهای پایدار مدیریت منابع آب، بررسی شوند. در پژوهشی، Motondo *et al.* (2004)، تأثیر تغییر اقلیم بر هیدرولوژی و منابع آب را با استفاده از خروجی مدل‌های گردش عمومی Atmosphere-Ocean General Circulation (تمسфер) اقیانوس-تمسفر (Atmosphere-Ocean General Circulation) بررسی کردند.

مواد و روش‌ها

در این بخش روش‌های مورد نیاز برای این پژوهش که شامل تعیین روند متغیرهای هیدرواقلیمی، بررسی گرددیان منحنی متغیرهای اقلیمی- رواناب، تعیین رواناب محاسباتی در دوره مرتبط با فعالیت‌های بشری (رواناب تولیدی)، تفکیک اثرات نوسانات طبیعی اقلیمی و فعالیت‌های بشری بر رواناب و تحلیل نتایج است، ارائه می‌شوند. مراحل اصلی انجام این پژوهش در شکل ۱ ارائه شده است.



شکل ۱. روند نمای مراحل مختلف انجام انجام پژوهش

آزمون تعیین روند من- کنдал
 آزمون من- کنдал یکی از متدائل ترین روش‌های ناپارامتری تحلیل روند سری‌های هیدرولوژیکی و هواشناسی بهشمار می‌رود (Wang *et al.*, 2011; 2012). مزیت این آزمون نسبت به سایر آزمون‌های تعیین روند، استفاده از رتبه داده‌ها در سری زمانی بدون در نظر گرفتن مقدار متغیرها است. بنابراین، می‌توان از این آزمون برای داده‌های دارای چولگی نیز استفاده کرد و داده‌ها نباید الزاماً در قالب توزیع خاصی ارائه شوند (Turgay and Ercan, 2005).

مراحل محاسبه آماره این آزمون به شرح زیر است:

۹۳ درصد داشته است. Zhang *et al.* (2012) به ارزیابی آثار تغییر اقلیم و فعالیت‌های بشری بر رواناب رودخانه هایفا (Huifa) در شمال شرقی چین پرداختند. آن‌ها از مدل SWAT برای شبیه‌سازی رواناب استفاده کردند. نتایج بررسی‌ها نشان داد که تغییر اقلیم و فعالیت‌های بشری بر دلایل اصلی بر کاهش رواناب مشاهداتی در رودخانه هایفا هستند. Haung *et al.* (2013) به بررسی پاسخ هیدرولوژیکی به تغییر اقلیم و فعالیت‌های بشری در حوضه ساحلی چین پرداختند. آن‌ها در پژوهش خود از تحلیل‌های من- کنдал و موجک (Wavelet) استفاده کردند. نتایج نشان دادند که جریان ده‌ساله حوضه‌های شمالی و غربی، به ترتیب $\frac{9}{2}$ و $\frac{6}{7}$ درصد کاهش یافته است. این کاهش به دلیل اقدامات بشری، از جمله احداث سد، تغییرات اراضی و توسعه اجتماعی- اقتصادی است.

عوامل مختلف سامانه اقلیم می‌شوند که به دو دسته داخلی و خارجی تقسیم می‌شوند. عوامل داخلی، ناشی از کنش‌های متقابل بین اجزای سامانه اقلیم بوده است، مانند پدیده ال‌نینو یا انسو و عوامل خارجی می‌تواند ناشی از تابش خورشیدی، فعالیت‌های آتش‌نشانی و افزایش غیرطبیعی گازهای گلخانه‌ای باشد. این افزایش گازهای گلخانه‌ای ناشی از فعالیت‌های بشری، همچون تغییر کاربری اراضی، توسعه کشاورزی، طرح‌های توسعه منابع آب و ... می‌تواند سبب تغییرات اساسی روی جریان رودخانه‌ها و رواناب شود. گرچه تا کنون پژوهش‌هایی در زمینه اثرات تغییر اقلیم بر جریان حوضه آبریز انجام شده است، ولی پژوهش‌ها بر روی تفکیک اثرات نوسانات طبیعی اقلیم و فعالیت‌های بشری که هر کدام منجر به تغییر در جریان رودخانه‌ها می‌شود، خیلی نادر است. بنابراین، اهداف این پژوهش، عبارت‌اند از: ۱. آشکارسازی روندهای زمانی و تغییرات ناگهانی در متغیرهای هیدرواقلیمی (دما، بارندگی و رواناب) و ۲. تعیین اثرات نوسانات طبیعی اقلیم و فعالیت‌های بشری بر رواناب سطحی حوضه. این پژوهش به تفکیک تأثیرات نوسانات طبیعی اقلیم و فعالیت‌های بشری بر جریان در مقیاس حوضه کمک خواهد کرد و اطلاعات مفیدی را برای تصمیم‌گیران و سیاست‌گذاران فراهم می‌آورد که به توسعه پایدار منابع آب در سطح حوضه آبریز منجر می‌شود. بنابراین، در پژوهش حاضر سعی شده است آثار نوسانات طبیعی اقلیم و فعالیت‌های بشری بر تغییر جریان رودخانه آیدوغموش واقع در استان آذربایجان شرقی در دوره ۱۹۷۱-۲۰۰۰ به تفکیک، ارزیابی شوند.

تخمین اثرات نوسانات طبیعی اقلیم و فعالیت‌های بشری به تفکیک بر رواناب

تغییرات رواناب را می‌توان به تقابلات بین دو عامل مهم نوسانات طبیعی اقلیم و فعالیت‌های بشری منتب کرد. به طور کلی، اثرات این عوامل بر ایجاد تغییرات فرایندهای هیدرولوژیکی در یک حوضه معین به صورت مستقل در نظر گرفته می‌شوند (Wang *et al.*, 2010). بنابراین، سری زمانی رواناب می‌تواند به دو سری زمانی، یعنی سری زمانی مربوط به نوسانات طبیعی اقلیم (دوره پایه) و سری زمانی مربوط به فعالیت‌های بشری (دوره مرتبط به فعالیت‌های بشری) (Peng *et al.*, 2013) تقسیم شود:

$$\Delta R_t = \Delta R_c + \Delta R_h \quad (\text{رابطه ۶})$$

که در آن، ΔR_t = تغییر کل رواناب، ΔR_c = تغییر رواناب به‌واسطه نوسانات طبیعی اقلیم و ΔR_h = تغییر رواناب به‌واسطه فعالیت‌های بشری مانند تغییرات کاربری اراضی، ایجاد طرح‌های توسعه منابع آب و غیره است.

ابتدا برای تخمین اثرات فعالیت‌های بشری بر رواناب (ΔR_h)، مدل هیدرولوژیکی براساس متغیرهای هیدرواقلیمی (دما، بارندگی و جریان مشاهداتی رودخانه) در دوره ۱۹۷۱-۲۰۰۰ واسنجی و صحبت‌سنجی می‌شود و سپس با معرفی متغیرهای هیدرواقلیمی در دوره مرتبط با فعالیت‌های بشری به مدل واسنجی شده، رواناب تولیدی در دوره مرتبط با فعالیت بشری محاسبه می‌شود. درنتیجه اثرات فعالیت‌های بشری بر رواناب می‌توانند به صورت زیر محاسبه شوند:

$$\Delta R_h = |R_p^{(h)} - R_o^{(h)}| \quad (\text{رابطه ۷})$$

که در آن، $R_p^{(h)}$ = سری زمانی رواناب تولیدی برای دوره مرتبط با فعالیت‌های بشری، $R_o^{(h)}$ = سری زمانی رواناب مشاهداتی طی دوره مرتبط با فعالیت‌های بشری است. در این پژوهش، مدل هیدرولوژیکی پنج پارامتری پیشنهادشده توسط Jakeman and Hornberger (1993) به کار گرفته شد. بدليل ورودی‌های قابل دسترس در بیشتر حوضه‌ها، قابلیت ترکیب با مدل‌های برنامه‌ریزی منابع آب و همچنین سادگی مدل برای مطالعات اثرات تغییر اقلیم، از این مدل استفاده شده است. ورودی‌های مورد نیاز این مدل دما، بارندگی و جریان مشاهداتی رودخانه و خروجی مدل، جریان محاسباتی رودخانه است که پنج پارامتر مختلف مدل (τ , f , c , α و β) که در ادامه تشریح می‌شود، می‌بایست براساس داده‌های مشاهداتی برای حوضه مطالعه شده واسنجی شود (Ashofteh *et al.*, 2013b).

(الف) محاسبه اختلاف بین تک مشاهدات با یکدیگر و اعمال تابع علامت (Sgn) و استخراج پارامتر S به صورت زیر:

$$S = \sum_{k=1}^{n-1} \sum_{j=k+1}^n Sgn(x_j - x_k) \quad (\text{رابطه ۱})$$

که در آن، n = تعداد داده‌های مشاهداتی سری زمانی و x_k = بهترین داده‌های زام و k سری هستند. تابع (Sgn) نیز به صورت زیر محاسبه می‌شود:

$$Sgn(x_j - x_k) = \begin{cases} +1 & (x_j - x_k) > 0 \\ 0 & (x_j - x_k) = 0 \\ -1 & (x_j - x_k) < 0 \end{cases} \quad (\text{رابطه ۲})$$

(ب) محاسبه واریانس توسط یکی از روابط زیر:

$$Var(S) = \begin{cases} \frac{n(n-1)(2n+5) - \sum_{i=1}^m t_i(t_i-1)(2t_i+5)}{18} & n > 10 \\ \frac{n(n-1)(2n+5)}{18} & n < 10 \end{cases}$$

که در آن، n = تعداد داده‌های مشاهداتی سری زمانی، m = تعداد گره‌ها (منظور از گره این است که اگر از یک مقدار داده، بیشتر از یکی وجود داشته باشد، این مقادیر مساوی، تشکیل یک گره را می‌دهند) و t = تعداد این مقادیر مساوی در گره m است.

(پ) نهایتاً آماره Z توسط یکی از روابط زیر تعیین می‌شود:

$$Z = \begin{cases} \frac{S-1}{\sqrt{Var(S)}} & S > 0 \\ 0 & S = 0 \\ \frac{S+1}{\sqrt{Var(S)}} & S < 0 \end{cases} \quad (\text{رابطه ۴})$$

در یک آزمون دو دامنه برای روندیابی سری داده‌ها، فرض صفر در صورتی پذیرفته می‌شود که رابطه زیر برقرار باشد:

$$|Z| \leq Z_{a/2} \quad (\text{رابطه ۵})$$

که در آن، a = سطح معناداری است که برای آزمون در نظر گرفته می‌شود و Z_a = آماره توزیع نرمال استاندارد در سطح معناداری a است که با توجه به دو دامنه بودن آزمون، از $a/2$ استفاده شده است. در این پژوهش، آزمون من-کنдал برای سطح اطمینان ۹۹ درصد به کار گرفته شده است. در صورت مثبت بودن آماره Z ، روند سری داده‌ها صعودی و در صورت منفی بودن آن، روند نزولی در نظر گرفته می‌شود.

متوسط خطای مطلق (MAE) و کارایی نش-ساتکلیف (NSE) استفاده شده است (Ashofteh *et al.*, 2013a).

مطالعه موردي و داده‌ها

حوضه مطالعه شده

رودخانه آیدوغموش یکی از رودخانه‌های اصلی حوضه آبریز قزل‌اوزن به شمار می‌آید. وسعت حوضه آبریز این رودخانه حدود ۱۸۰۲ کیلومترمربع است. این رودخانه که در استان آذربایجان شرقی قرار دارد و پس از دریافت جریان رودخانه‌های قرنقو و شهرچای به رودخانه قزل‌اوزن می‌ریزد. حوضه مطالعه شده در جنوب و جنوب شرقی آذربایجان شرقی قرار گرفته است (شکل ۲). آبدیهی سالانه رودخانه آیدوغموش ۱۹۰ میلیون مترمکعب است. متوسط بارش سالانه در سطح حوضه ۳۴۰ میلی‌متر بوده است که پریاران ترین ماه‌ها، ماه‌های فروردین و اردیبهشت هستند. آمار و اطلاعات متغیرهای هیدرواقلیمی لازم برای دوره مشاهداتی (۱۹۷۱-۲۰۰۰) از ایستگاه‌های هواشناسی و ایستگاه هیدرومتری مشخص شده در شکل ۲ اخذ شد.

بهمنظور تبدیل بارندگی به بارندگی مؤثر از رابطه زیر استفاده می‌شود:

$$EP_t = WI_t \times P_t \quad (8)$$

که در آن، P_t = سری زمانی بارندگی در گام زمانی t ام، EP_t = سری زمانی بارندگی مؤثر در گام زمانی t ام و WI_t = شاخص رطبتی حوضه در گام زمانی t ام که از رابطه‌های زیر به دست می‌آید:

$$(9)$$

$$WI_t = c \times P_t + \{1 - [1/\tau_w(T_t)]\} \cdot WI_{t-1} \quad (10)$$

$$WI_0 = 0$$

$$(10)$$

$\tau_w(T_t) = \tau_w \cdot \exp[0.062f(T_r - T_t)]$
که در آن، T_t = سری زمانی دما در گام زمانی t ام، T_r = دمای مرجع، τ_w = ثابت زمانی خشکشدن حوضه، f = عامل تعديل دما و c = کسری از بارندگی است.

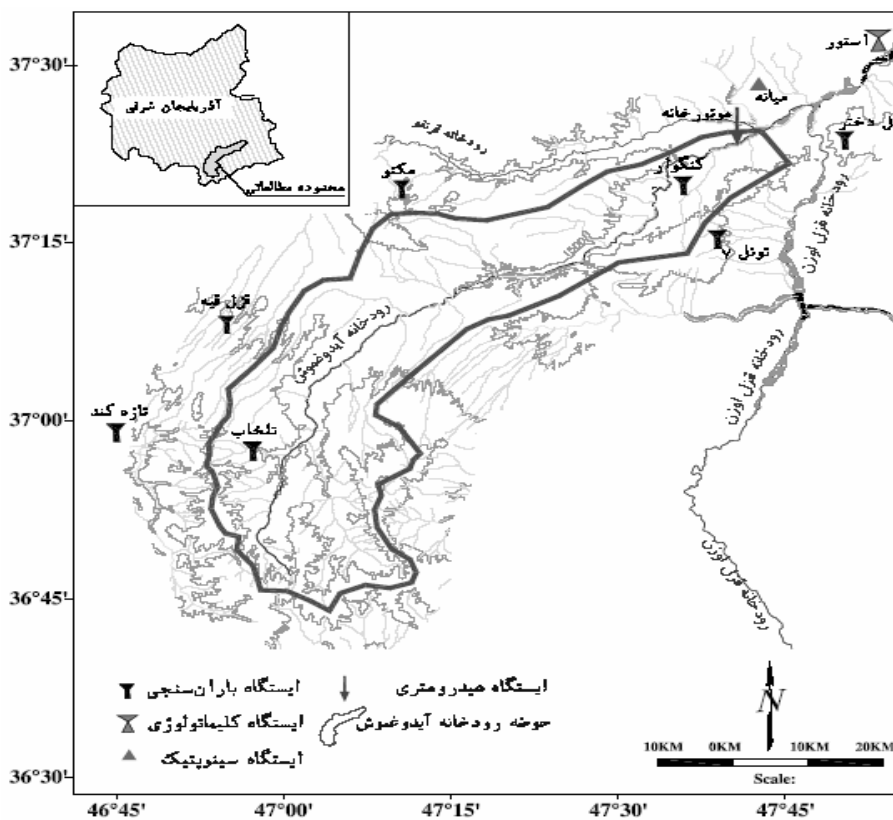
بهمنظور تبدیل بارندگی مؤثر به رواناب از رابطه زیر استفاده می‌شود:

$$R_t = \alpha^q R_{t-1} + \beta^q (EP_{t-1}) + \alpha^s R_{t-1} + \beta^s (EP_{t-1}) \quad (11)$$

که در آن، α و β = ضرائب ثابت است.

معیارهای عملکرد

برای بررسی عملکرد مدل‌ها و مقایسه نتایج از معیارهای مرسوم ضریب همبستگی (r)، جذر متوسط مربعات خطا ($RMSE$).



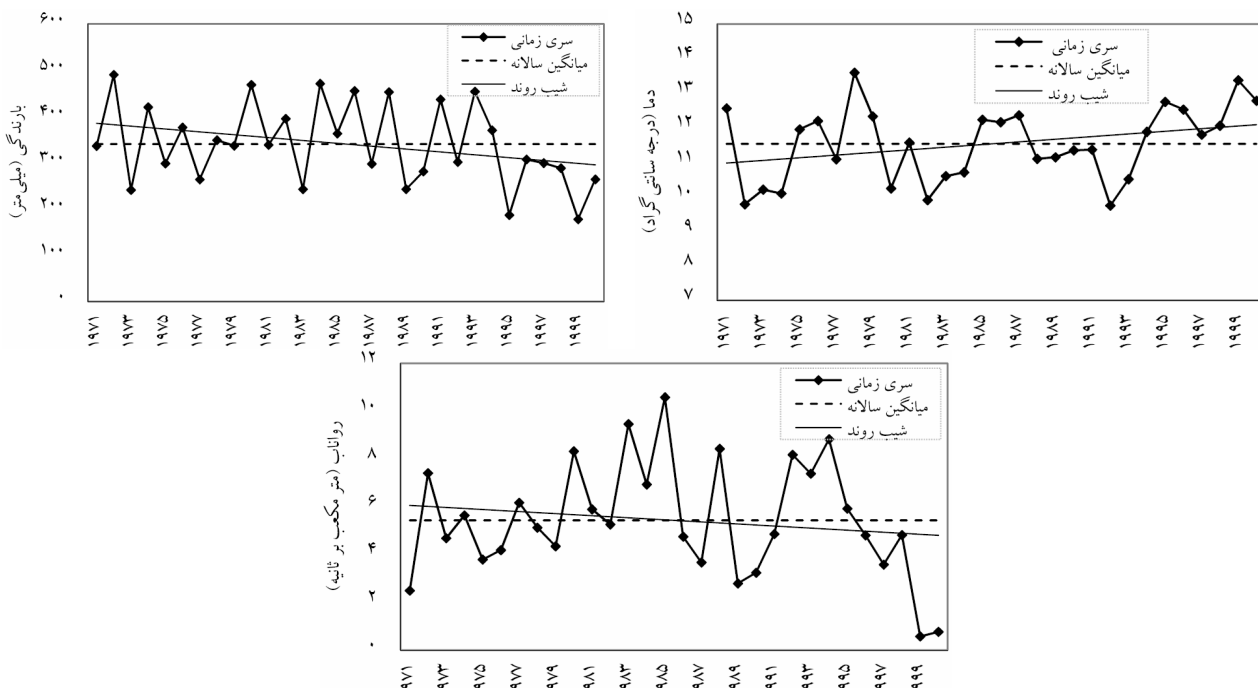
شکل ۲. موقعیت حوضه مطالعاتی همراه با ایستگاه‌های هواشناسی و هیدرومتری

شکل ۳ روند تغییرات بلندمدت بارندگی، دما و رواناب مشاهداتی (۱۹۷۱-۲۰۰۰) حوضه رودخانه آیدوغموش ارائه شده است. همچنین شیب روند و آماره آزمون من-کنдал برای سری زمانی متغیرهای هیدرواقلیمی، محاسبه شده و نتایج در جدول ۱ ارائه شده است.

نتایج و بحث

تحلیل روندهای متغیرهای هیدرو اقلیمی

تعیین روند در متغیرهای اقلیمی مشاهداتی می‌تواند در یافتن نیروهای محرک اصلی برای ایجاد تغییر در سامانه‌های هیدرولوژیکی و منابع آب، کمک کند (Huo *et al.*, 2007). در



شکل ۳. سری زمانی متغیرهای هیدرواقلیمی در حوضه رودخانه آیدوغموش برای دوره مشاهداتی

جدول ۱. محاسبه شیب روند و آماره آزمون من-کنдал برای متغیرهای هیدرواقلیمی

متغیر	میانگین (میلی متر)	شیب روند (درصد)	آماره Z	سطح اطمینان	آزمون روند من-کنдал
دما	۱۱/۵۳	۵/۵۱	۰/۲۴۶	۰/۹۹	-
بارندگی	۲۸/۳۵	-۲۴/۱۰	-۰/۲۰۰	۰/۹۹	-
رواناب	۵/۴۳	-۳/۶۶	-۰/۰۷۱	۰/۹۹	-

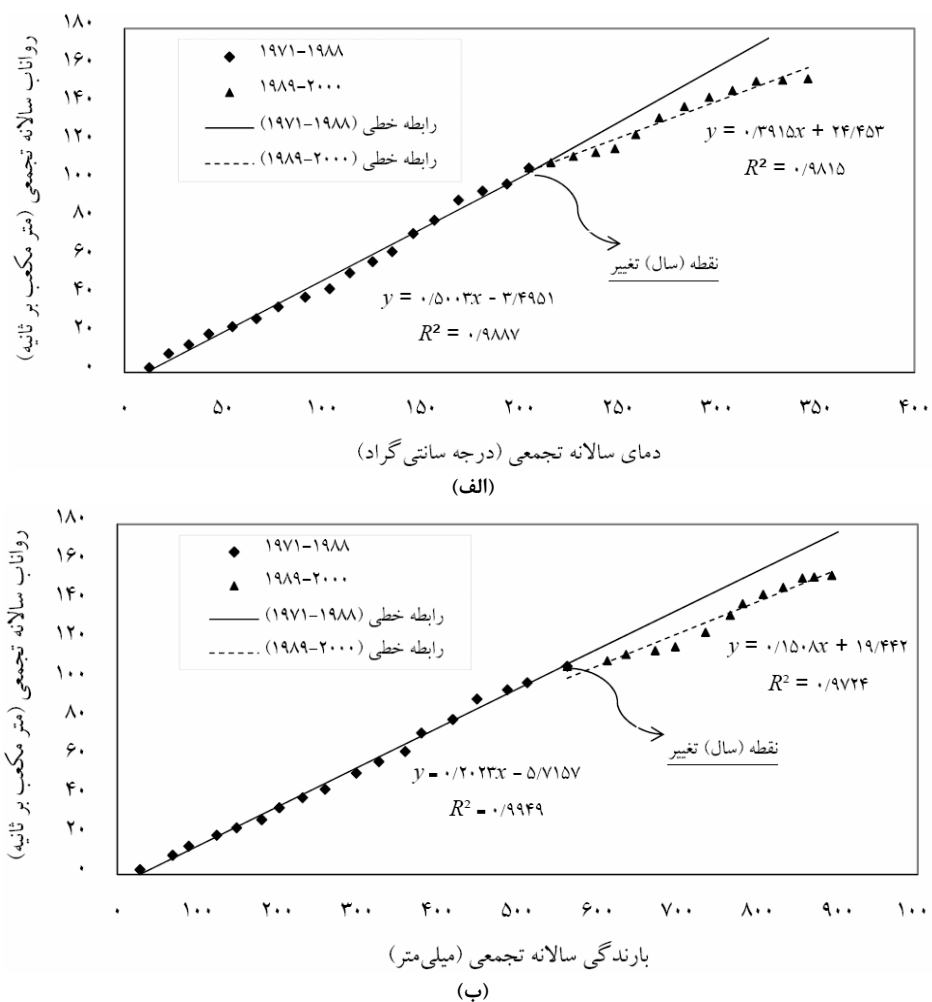
دما- رواناب و بارندگی- رواناب در شکل ۴ ارائه شده است. بهطورکلی، اگر خصوصیات یک حوضه پایدار باشد، منحنی تجمعی سالانه دما- رواناب و بارندگی- رواناب، به صورت خطی است (Raghunath, 2006). بنابراین، تغییر در گرادیان منحنی تجمعی بیانگر آن است که رابطه موجود بین رواناب و متغیرهای اقلیمی، تغییر کرده است و تغییر رواناب می‌تواند احتمالاً متأثر از تغییر عامل دیگری نیز باشد (Peng *et al.*, 2006; Raghunath, 2006).

همان‌طور که در شکل ۴ مشاهده می‌شود، منحنی تجمعی تقریباً به صورت خط مستقیم است (ولی با شیب مختلف قبل و بعد از نقطه تغییر (Change point)). آغاز تغییر در گرادیان

همان‌طور که در شکل ۳ مشخص است، سری‌های زمانی بارندگی و رواناب یک روند کاهشی را به ترتیب با شیب ۰/۲۴۱ و ۳/۶۶ درصد نشان می‌دهند که این مورد با مقادیر آماره من-کنдал در جدول ۱ برای متغیرهای ذکر شده، به ترتیب برابر ۰/۰۷۱ و ۰/۹۹ تأیید می‌شود. همچنین سری زمانی دما، یک روند افزایشی را با شیب ۱/۵۱ درصد نشان می‌دهد و مقدار آماره Z برای این متغیر مقدار ۰/۲۴۶ را نشان می‌دهد. بنابراین، کاهش رواناب ممکن است به روند کاهشی متغیر بارندگی و روند افزایشی متغیر دما یا هر دو، نسبت داده شود. به عبارت دیگر، تغییر متغیر هیدرولوژیکی ممکن است به واسطه تغییر متغیر اقلیمی باشد. برای بررسی بیشتر این موضوع، منحنی تجمعی

سال ۱۹۸۸، می‌تواند بیانگر تأثیر فعالیت‌های بشری بر رواناب باشد. بنابراین، دوره ۱۹۷۱-۱۹۸۸ به عنوان دوره پایه و دوره ۱۹۸۹-۲۰۰۰ به عنوان دوره مرتبط با فعالیت بشری، در نظر گرفته شده است.

منحنی تجمعی، منطبق بر سال ۱۹۸۸ است. بنابراین، می‌توان نتیجه گرفت سازوکار تولید رواناب تغییر کرده است (Raghunath, 2006) که می‌تواند به فعالیت‌های بشری نسبت داده شود. به عبارت دیگر، سال‌های پس از نقطه تغییر، یعنی



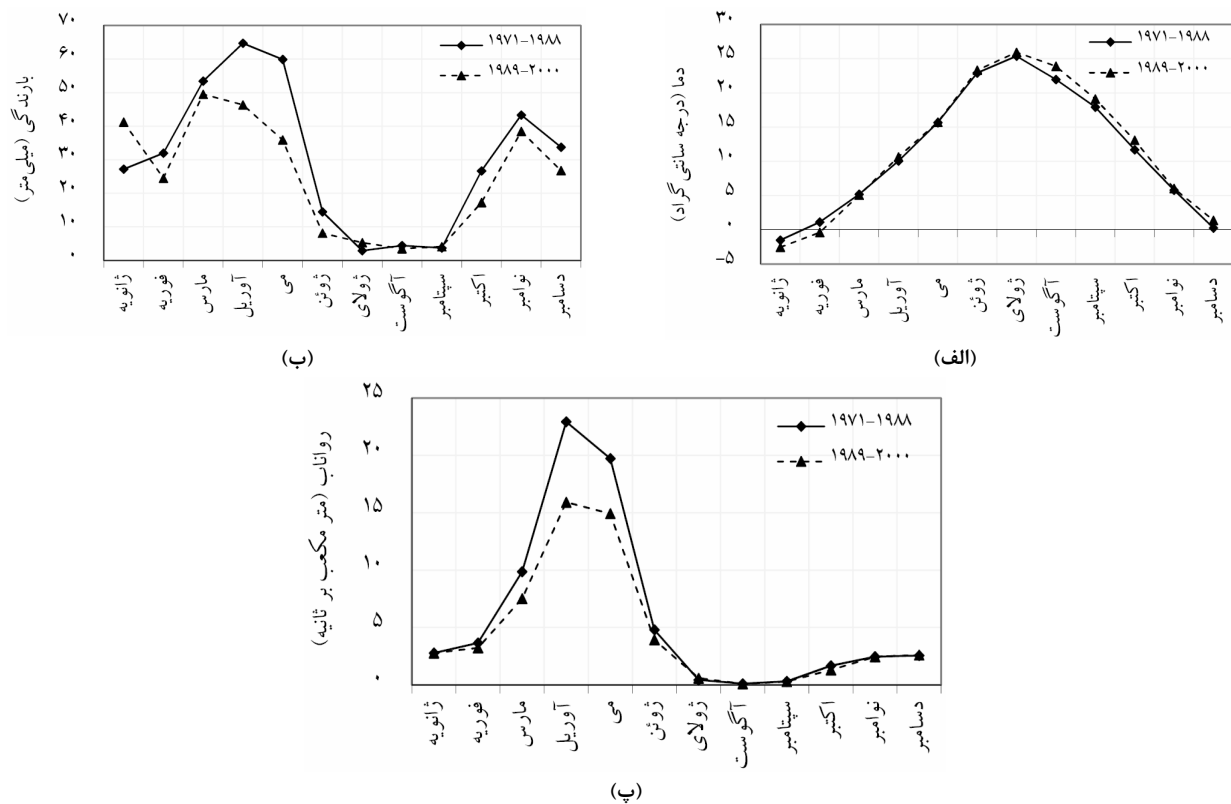
شکل ۴. منحنی تجمعی سالانه رواناب با (الف) دما و (ب) بارندگی

نسبت به دوره پایه، بیشتر است. این در حالی است که مقادیر متوسط ماهانه بارندگی و رواناب در دوره مرتبط با فعالیت‌های بشری در بیشتر ماهها نسبت به دوره پایه، مقادیر کمتری را به خود اختصاص داده است (شکل ۵ ب و پ). ضمناً تغییرات بزرگ‌تری در رواناب نسبت به بارندگی، قابل مشاهده است. بنابراین، علاوه بر نوسانات طبیعی اقلیم، فعالیت‌های بشری نیز در کاهش رواناب تأثیر می‌گذارند. علاوه بر این، بیشتر کاهش‌ها در آغاز فصول توسعه کشاورزی در محدوده طرح (آوریل و می) رخ می‌دهند. یافته‌های مشابهی در برخی مطالعات قبلی وجود دارد (Yang and Tian, 2009; Jiang *et al.*, 2011).

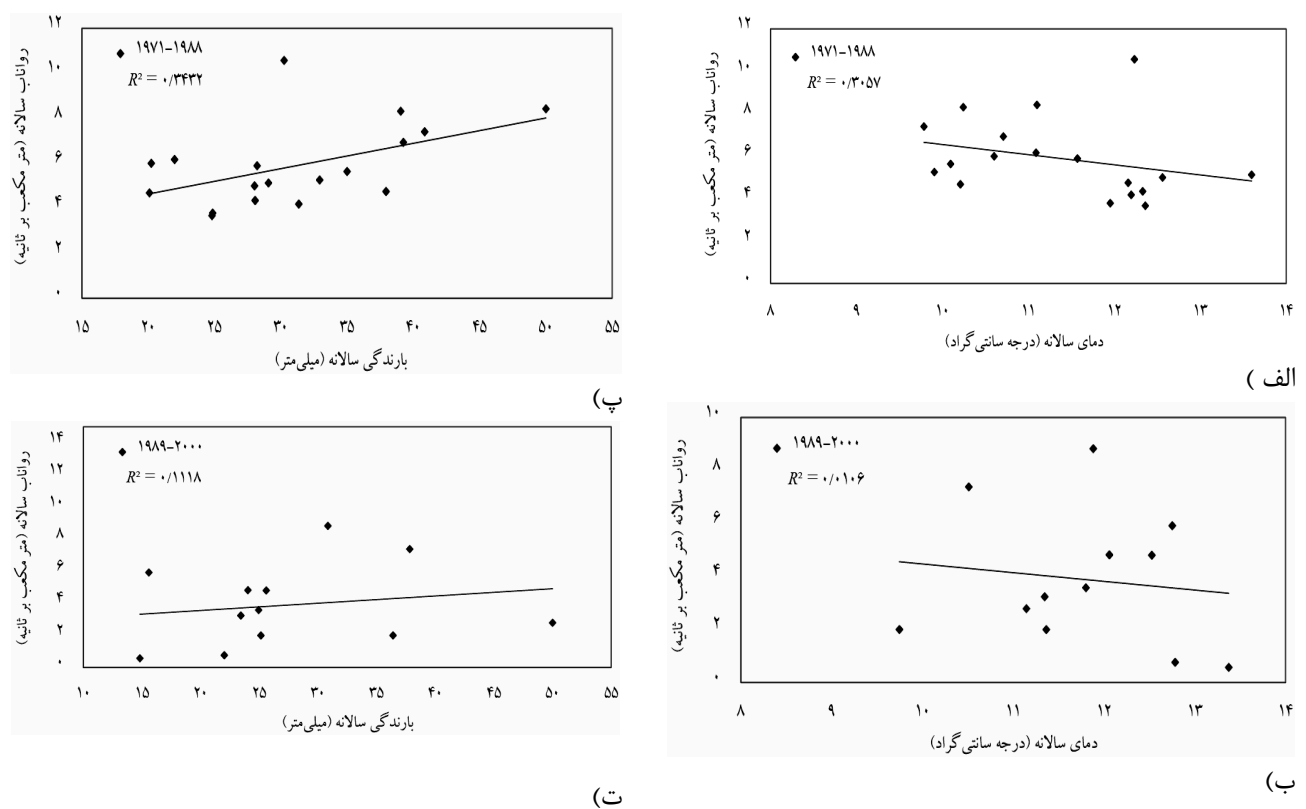
بررسی بیشتر، مقایسه همبستگی بین دما و بارندگی با رواناب، به ترتیب هر کدام در دو دوره پایه و دوره مرتبط با فعالیت‌های بشری در شکل ۶ الف تا ت نشان داده شده است.

مقایسه متوسط ماهانه متغیرهای هیدرواقلیمی و همبستگی آن‌ها با هم در دوره پایه و دوره مرتبط با فعالیت‌های بشری به منظور بررسی تأثیر نوسانات طبیعی اقلیم و فعالیت‌های بشری بر رواناب، به ترتیب طی دوره پایه و دوره مرتبط با فعالیت‌های بشری، تغییرات درون‌سالی متغیرهای اقلیمی و رواناب بررسی شدند. در شکل ۵ (الف)، (ب) و (پ) مقایسه متوسط ماهانه دما، بارندگی و رواناب در دوره ۱۹۷۱-۱۹۸۸ با ۱۹۸۹-۲۰۰۰ نشان داده شده است.

همان‌طور که در شکل ۵-الف مشخص است، تفاوت معناداری بین مقادیر متوسط ماهانه دما در دوره پایه و دوره مرتبط با فعالیت‌های بشری وجود ندارد و در بیشتر ماهها، مقادیر متوسط ماهانه دما در دوره مرتبط با فعالیت‌های بشری



شکل ۵. دما، بارندگی و رواناب ماهانه برای دوره پایه و دوره مرتبط با فعالیت‌های بشری

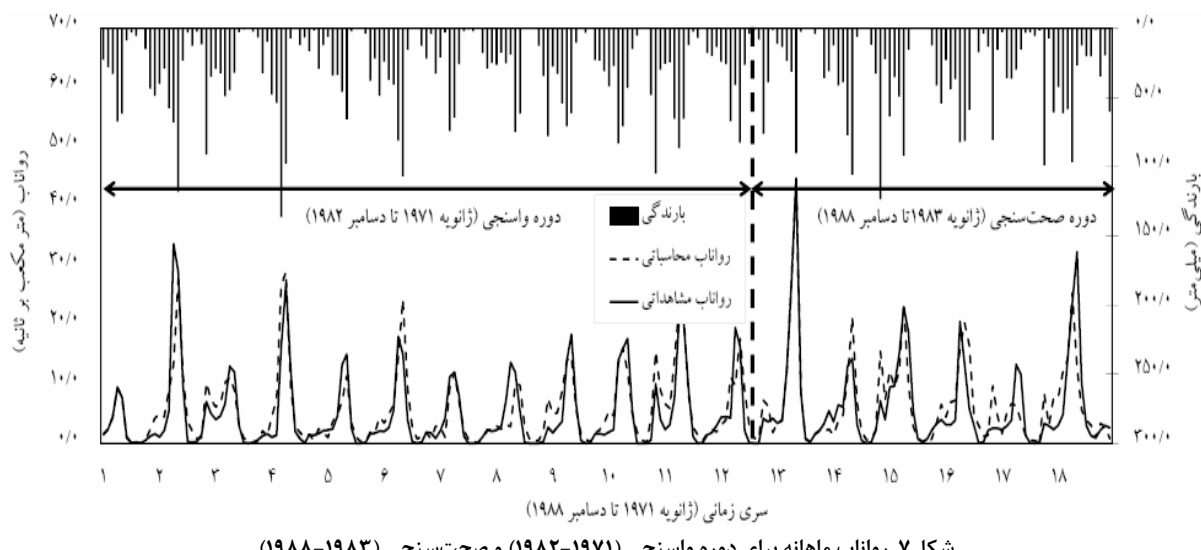


شکل ۶. همبستگی بین (الف) و (ب) دما و (پ) و (ت) بارندگی با رواناب، به ترتیب هر کدام برای دوره پایه و دوره مرتبط با فعالیت‌های بشری

ژانویه ۱۹۸۳ تا دسامبر ۱۹۸۸ برای صحبت‌سنگی به کار رفته‌است. سپس، مقادیر مطلوب پارامترهای مدل (جدول ۲) با استفاده از معیارهای عملکرد (جدول ۳) تعیین شدند. شکل ۷ مقایسه رواناب محاسباتی و مشاهداتی را برای دو دوره واسنجی و صحبت‌سنگی نشان می‌دهد.

همان‌طور که در شکل ۷ مشخص است، مقادیر رواناب ماهانه محاسباتی با مشاهداتی جز در برخی رواناب‌های بیشینه با هم سازگار هستند.

نتایج حاصل از شکل ۷ و جدول ۳، عملکرد قابل قبولی از مدل پنج پارامتری را در شبیه‌سازی رواناب نشان می‌دهد. پس از واسنجی مدل، داده‌های هیدرواقلیمی برای دوره مرتبط با فعالیت‌های بشری به عنوان ورودی به مدل برای تولید رواناب معرفی می‌شوند. با ایجاد سری زمانی رواناب تولیدشده در دوره مرتبط با فعالیت‌های بشری و با مقایسه با سری زمانی رواناب مشاهداتی برای همان دوره، اثرات نوسانات طبیعی اقلیم و فعالیت‌های بشری به تفکیک توسط رابطه ۷ تعیین می‌شوند.



شکل ۷. رواناب ماهانه برای دوره واسنجی (۱۹۷۱-۱۹۸۲) و صحبت‌سنگی (۱۹۸۳-۱۹۸۸)

تفکیک اثرات نوسانات طبیعی اقلیم و فعالیت‌های بشری سری زمانی رواناب محاسباتی برای دوره مرتبط با فعالیت‌های بشری (رواناب تولیدی) با استفاده از مدل مفهومی پنج پارامتری تعیین شده است و در شکل ۸ با رواناب مشاهداتی طی دوره مرتبط با فعالیت‌های بشری مقایسه شدند.

همان‌طور که در شکل ۸ ارائه شده است، در بیشتر ماهها رواناب محاسباتی (تولیدی) بیشتر از رواناب مشاهداتی طی دوره مرتبط با فعالیت‌های بشری است که بیانگر تأثیر فعالیت‌های بشری بر کاهش نسبی رواناب است که در این دوره وجود دارد.

همبستگی بین دما و رواناب نسبت به همبستگی بین بارندگی و رواناب برای دوره پایه نسبت به دوره فعالیت‌های بشری، بیشتر است. یعنی پس از سال ۱۹۸۹ رواناب متأثر از فعالیت‌های بشری در منطقه است (شکل ۶ الف و ب). این موضوع درباره همبستگی بین بارندگی و رواناب هم صادق است (شکل ۶ پ و ت). همچنین، همبستگی بارندگی-رواناب نسبت به دما-رواناب در هر دو دوره بیشتر است که بیانگر تأثیرپذیری بیشتر رواناب از بارندگی است. یافته‌های مشابهی در این مورد در پژوهش‌هایی مانند Guo et al. (2005) یافت می‌شود.

واسنجی مدل مفهومی پنج پارامتری و تولید رواناب
برای تخمین اثرات فعالیت‌های بشری بر رواناب، لازم است مدل مفهومی براساس متغیرهای هیدرواقلیمی در دوره پایه، واسنجی و صحبت‌سنگی شوند. برای تعیین پارامترهای مدل پیشنهادی توسط جیکمن و هورنبرگر (1993)، دوره پایه (1988-1971) به دو زیردوره تقسیم شدند. مدل با استفاده از داده‌های مشاهداتی به ترتیب از ژانویه ۱۹۷۱ تا دسامبر ۱۹۸۲ برای واسنجی و از

جدول ۲. پارامترهای حاصل از واسنجی مدل (Ashofteh et al., 2013b)
براساس داده‌های مشاهداتی در دوره ۱۹۷۱-۱۹۸۲

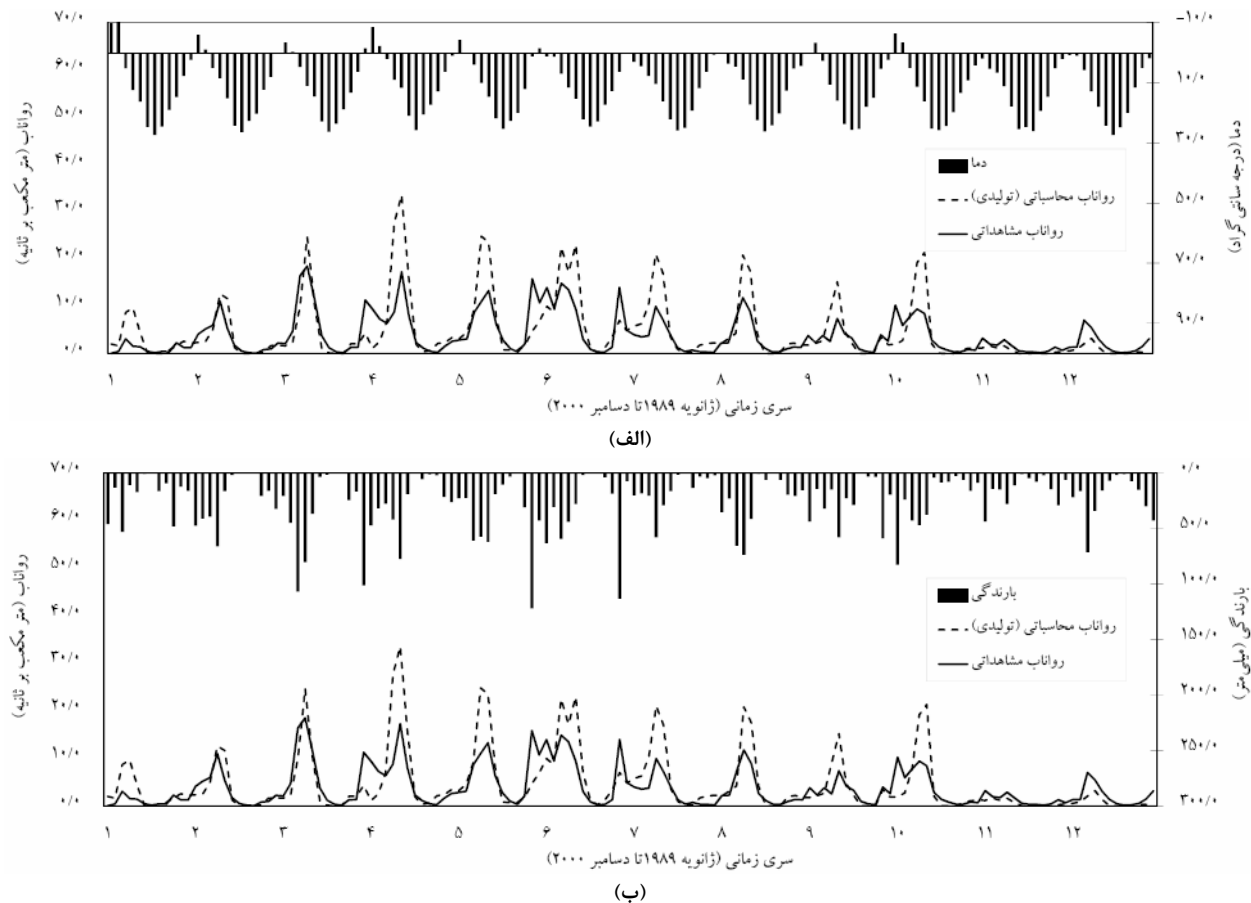
نتایج واسنجی	مدل پنج پارامتری				
	c	β	α	f	τ_w
۰/۰۰۱	۰/۵۰۲	۰/۲۸۸	۱/۷	۱/۰	

جدول ۳. معیارهای عملکرد برای دوره‌های واسنجی و صحبت‌سنگی

دوره	NSE (بدون بعد)	MAE (m³/s)	RMSE (m³/s)	R (%)
واسنجی	۰/۷۲	۲/۰۵	۳/۳۴	۰/۸۵
صحبت‌سنگی	۰/۷۵	۲/۵۴	۴/۱۴	۰/۸۸

شدن. نتایج نشان می‌دهد که نوسانات طبیعی اقلیم، ۷۹ درصد در کاهش رواناب نقش دارد. این در حالی است که فعالیت‌های بشری سهم ۲۱ درصدی را در کاهش رواناب به خود اختصاص داده‌اند.

مطابق با رابطه ۷ اختلاف بین سری زمانی رواناب تولیدی و رواناب مشاهداتی بیانگر کاهش رواناب، درنتیجه فعالیت‌های بشری است. همچنین، درصد تغییرات در میانگین رواناب سالانه تولیدی برای دوره مرتبط با فعالیت‌های بشری (۱۹۸۹-۲۰۰۰) با میانگین رواناب سالانه مشاهداتی در همین دوره مقایسه



شکل ۸. مقایسه رواناب محاسباتی (تولیدی) و مشاهداتی برای دوره مرتبط با فعالیت‌های بشری (۱۹۸۹-۲۰۰۰)، با (الف) دما و (ب) بارندگی در همین دوره

گرادیان منحنی تجمعی بارندگی- رواناب و دما- رواناب در سال ۱۹۸۸ (نقطه تغییر) وجود داشته است که بیانگر تأثیر فعالیت‌های بشری بر رواناب بوده است که از سال ۱۹۸۸ آغاز شده است. بنابراین، دوره ۱۹۷۱-۲۰۰۰ به دو زیردوره قابل تقسیم است. دوره ۱۹۷۱-۱۹۸۸ به عنوان دوره پایه و دوره ۱۹۸۹-۲۰۰۰ به عنوان دوره مرتبط با فعالیت بشری، در نظر گرفته شده است. نتایج بررسی‌ها نشان داد که نوسانات طبیعی اقلیم و فعالیت‌های بشری، به ترتیب سهم ۷۹ و ۲۱ درصدی را در کاهش رواناب دارند.

معرفی نمادها و علائم

a : سطح معنادار برای آزمون من- کنдал
 EP_t : سری زمانی بارندگی مؤثر در گام زمانی t ام

نتیجه‌گیری کلی

تغییرات هیدرولوژیکی در یک حوضه معین می‌تواند در نتیجه نوسانات طبیعی اقلیم و فعالیت‌های بشری باشد. در این پژوهش، تغییرات در متغیرهای هیدرولوژیکی شامل دما، بارندگی و رواناب طی دوره ۱۹۷۱-۲۰۰۰ در حوضه آیدوغموش بررسی شد که نتایج زیر از آن حاصل شد. سری‌های زمانی بارندگی و رواناب یک روند کاهشی را به ترتیب با شبیه ۲۴/۱ و ۳/۶۶ درصد نشان می‌دهند که این مورد با مقادیر آماره من- کنдал، به ترتیب برابر -0.071 و -0.051 تأیید می‌شود. همچنین سری زمانی دما روندی افزایشی را با شبیه ۵/۵۱ درصد نشان می‌دهد و آماره Z برای این متغیر مقدار -0.246 را نشان می‌دهد. بنابراین، کاهش رواناب می‌تواند به روند کاهشی متغیر بارندگی و روند افزایشی متغیر دما، نسبت داده شود. تغییر ناگهانی در

T_t	: سری زمانی دما در گام زمانی t ام	f	: ضریب تعديل دما
T_r	: دمای مرجع	m	: تعداد گرهها
$Var(S)$: واریانس آزمون من- کندال	MAE	: متوسط خطای مطلق
WI_t	: شاخص رطوبتی حوضه در گام زمانی t ام	n	: تعداد داده‌های مشاهداتی سری زمانی
x_k و x_j	: داده‌های زام و k ام سری مشاهداتی	NSE	: کارایی نش- ساتکلیف
Z	: آماره آزمون من- کندال	P_t	: سری زمانی بارندگی در گام زمانی t ام
α	: ضرائب ثابت مدل مفهومی	r	: ضریب همبستگی
β	: ضرائب ثابت مدل مفهومی	$R_O^{(H)}$: سری زمانی رواناب مشاهداتی طی دوره مرتبط با فعالیتهای بشری
c	: ضرائب ثابت مدل مفهومی	$R_P^{(H)}$: سری زمانی رواناب تولیدی برای دوره مرتبط با فعالیتهای بشری
τ_w	: ثابت زمانی خشکشدن حوضه	$RMSE$: جذر متوسط مربعات خطأ
ΔR_C	: تغییر رواناب به واسطه نوسانات طبیعی اقلیم	$Sgn(x_j - x_k)$:تابع علامت
ΔR_H	: تغییر رواناب به واسطه فعالیتهای بشری	t	: تعداد مقادیر مساوی در گره m
	: تغییر کل رواناب		

REFERENCES

- Ashofteh, P. S., Bozorg Haddad, O., and Marino, M. A. (2013a). Climate change impact on reservoir performance indices in agricultural water supply. *Journal of Irrigation and Drainage Engineering*, 139(2), 85-97.
- Ashofteh, P. S., Bozorg Haddad, O., and Mariño, M. A. (2013b). Scenario assessment of streamflow simulation and its transition probability in future periods under climate change. *Water Resources Management*, 27(1), 255-274.
- Cong, Z., Yang, D., Gao, B., Yang, H., and Hu, H. (2009). Hydrological trend analysis in the Yellow river basin using a distributed hydrological model. *Water Resources Research*, 45, W00A13, doi:10.1029/2008WR006852.
- Guo, S. L., Chen, H., Zhang, H. G., Xiong, L. H., Liu, P., Pang, B., Wang, G. Q., and Wang, Y. Z. (2005). A semi-distributed monthly water balance model and its application in a climate change impact study in the middle and lower Yellow river basin. *Water International*, 30(2), 250-260.
- Jakeman A. J. and Hornberger G. M. (1993). How much complexity is warranted in a rainfall-runoff model?. *Water Resources Research*, 29(8), 2637-2649.
- Jiang, S., Ren, L., Yong, B., Singh, V. P., Yang, X., and Yuan, F. (2011). Quantifying the effects of climate variability and human activities on runoff from the Laohahe basin in northern China using three different method. *Hydrological Process*, 25, 2492-2505.
- Motondo, J. I., Peter, G., and Msibi, K. M. (2004). Evaluation of climate change on hydrology and water resources in Swaziland: Part II. *Physics and Chemistry of the Earth*, 29(15-18), 1193-1202.
- Peng, Sh., Liu, W., Wang, W., Shao, Q., Jiao, X., Yu, Zh., Xing, W., Xu, J., Zhang, Z., and Luo, Y. (2013). Estimating the effects of climatic variability and hyman activities on streamflow in the Hutuo River Basin, China. *Journal of Hydrological Engineering*, 18(4), 422-430.
- Raghunath, H. M. (2006). *Hydrology, Principles, Analysis and Design*. New Age International Publishers, New Dehli, India, pp. 24-26.
- Turgay, P. and Ercan, K. (2005). Trend analysis in Turkish precipitation data. *Hydrological Processes*, 20(9), 2011-2026.
- Wang, J., Hong, Y., Gourley, J., Adhikari, P., Li, L., and Su, F. (2010). Quantitative climate change and human impacts on long-term hydrologic response: A case study in sub-basin of the Yellow river, China. *International Journal of Climatology*, 30(14), 2130-2137.
- Wang, W. G., Peng, S. Z., Yang, T., Shao, Q. X., Xu, J. Z., and Xing, W. Q. (2011). Spatial and temporal characteristics of reference evapotranspiration trends in the Haihe river basin, China. *Journal of Hydrologic Engineering*, 16(3), 239-252.
- Wang, W., Shao, Q., Peng, S., Xing, W., Yang, T., Luo, Y., Yong, B., and Xu, J. (2012). Reference evapotranspiration change and the causes across the Yellow river basin during 1957-2008 and their spatial and seasonal differences. *Water Resources Research*, Doi: 10.1029/2011WR010724.
- Yang, Y. H. and Tian, F. (2009). Abrupt change of runoff and its major driving factors in Haihe river catchment China. *Journal of Hydrology*, 374(3-4), 373-383.
- Zhang, A., Zhang, Ch., Fu, G., Wang, B., Bao, Zh., Zheng, H. (2012). Assessments of impacts of climate change and human activities on runoff with SWAT for the Huifa river basin, Northeast China. *Water Resources Management*, 26(8), 2199-2217.